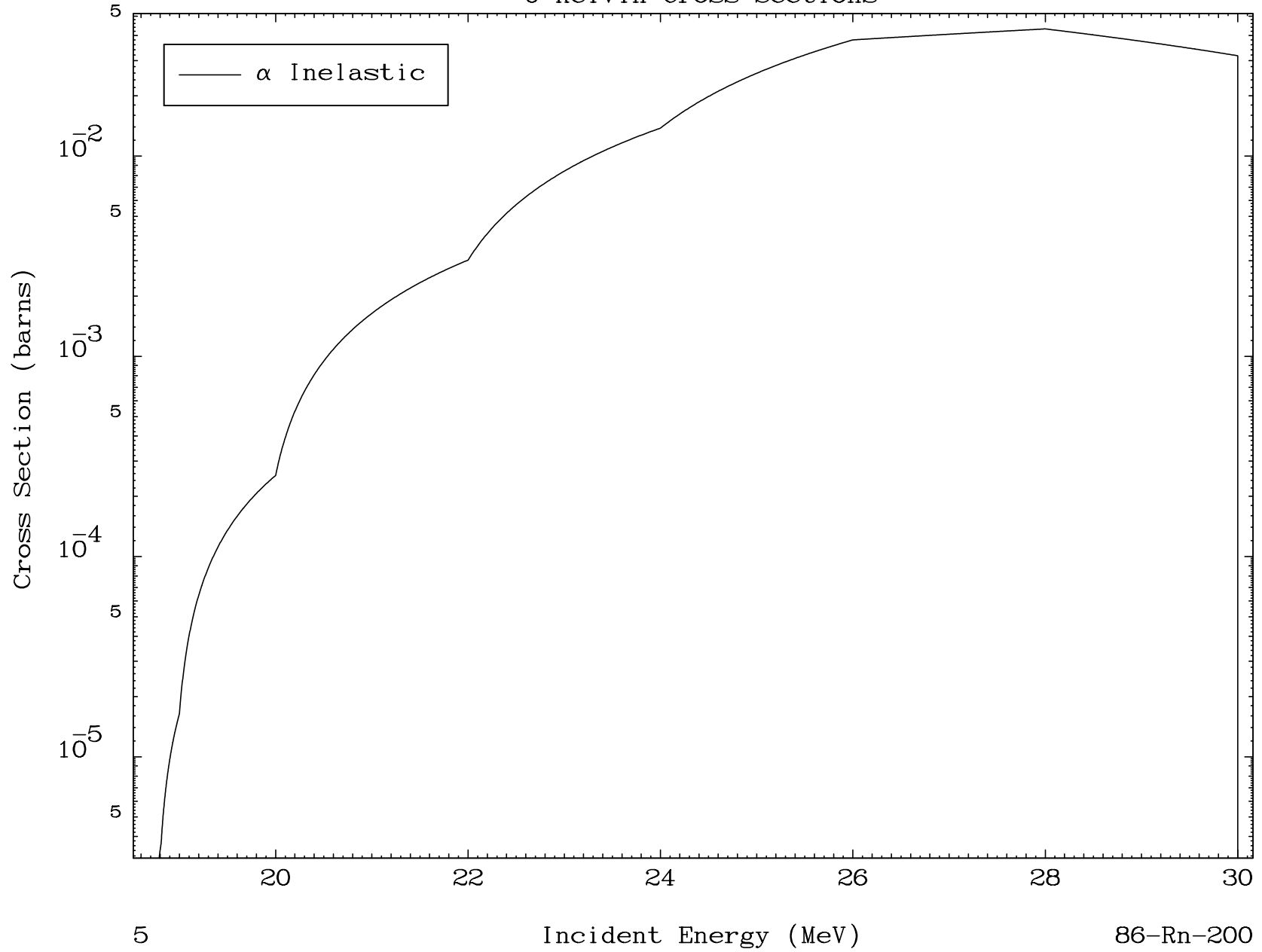


MAT 8592

(α, n') Level
0 Kelvin Cross Sections

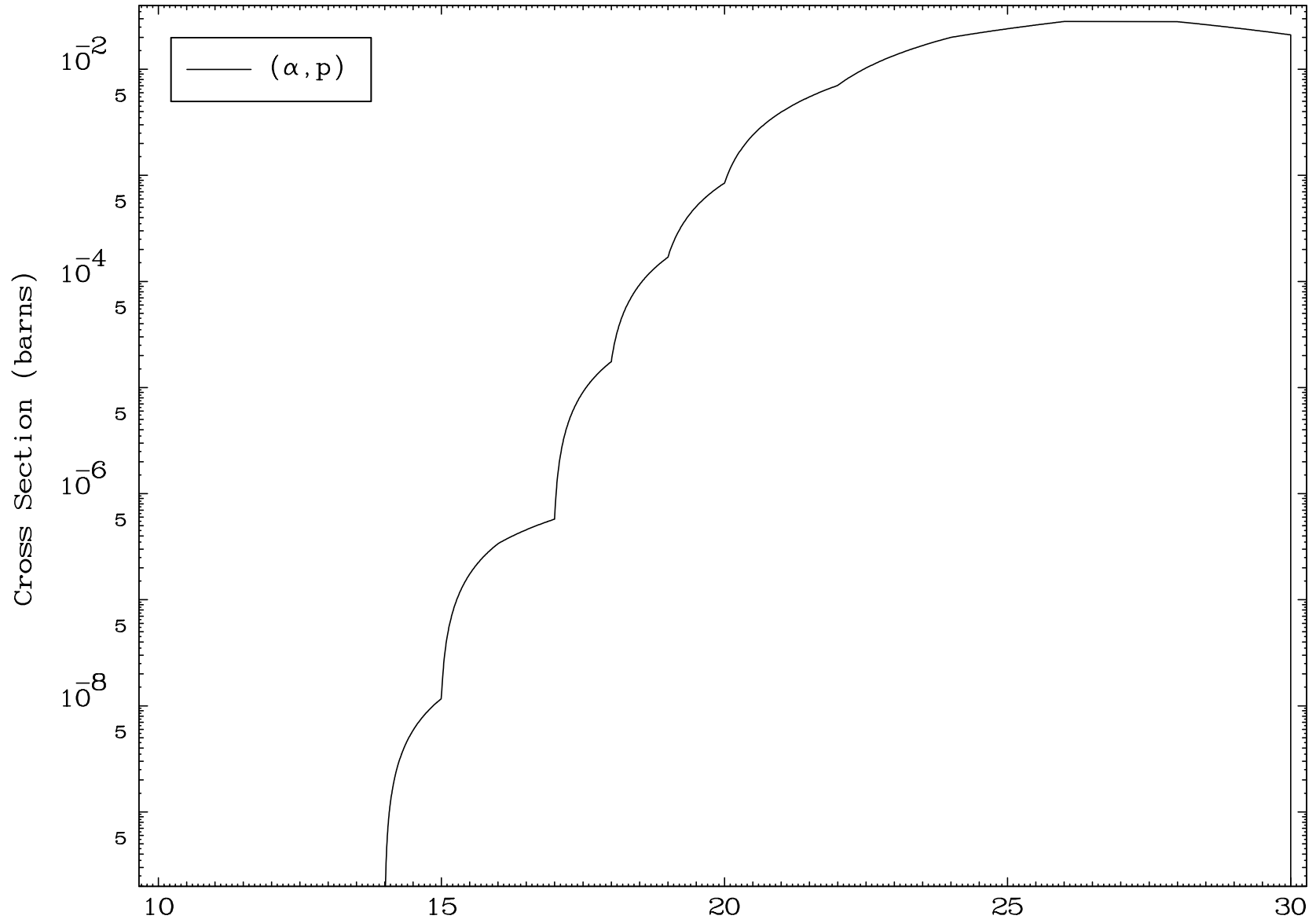
86-Rn-200

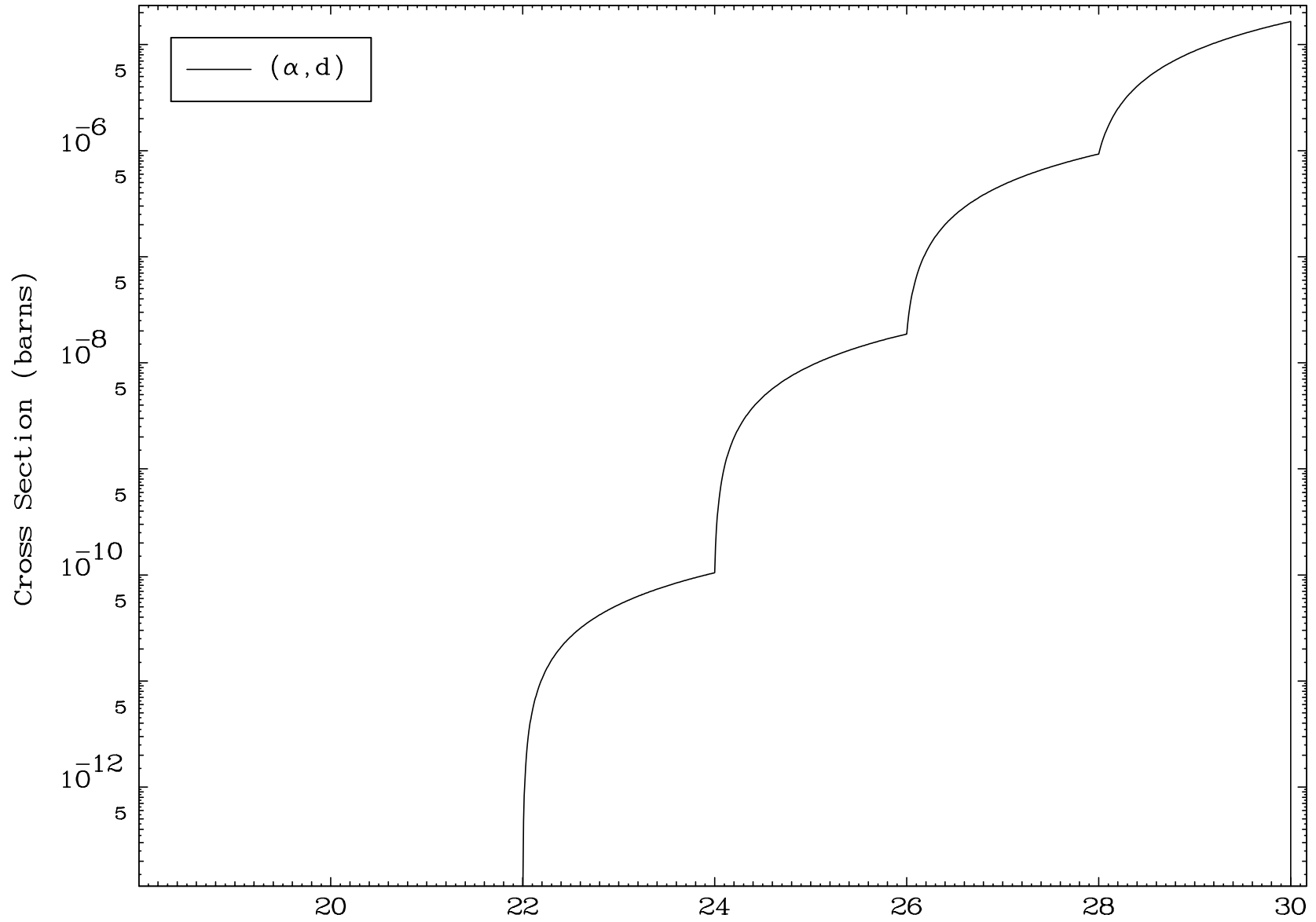


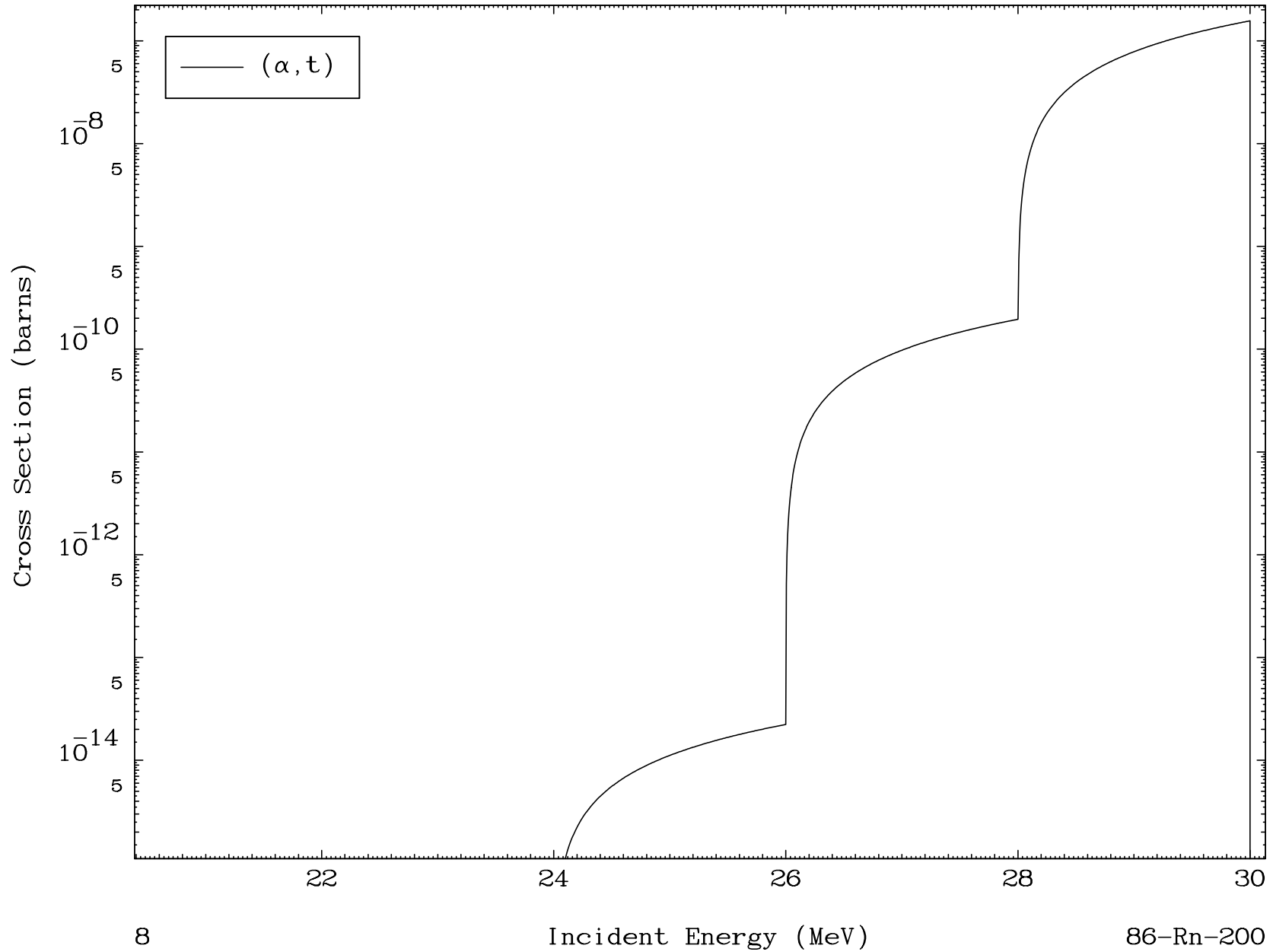
5

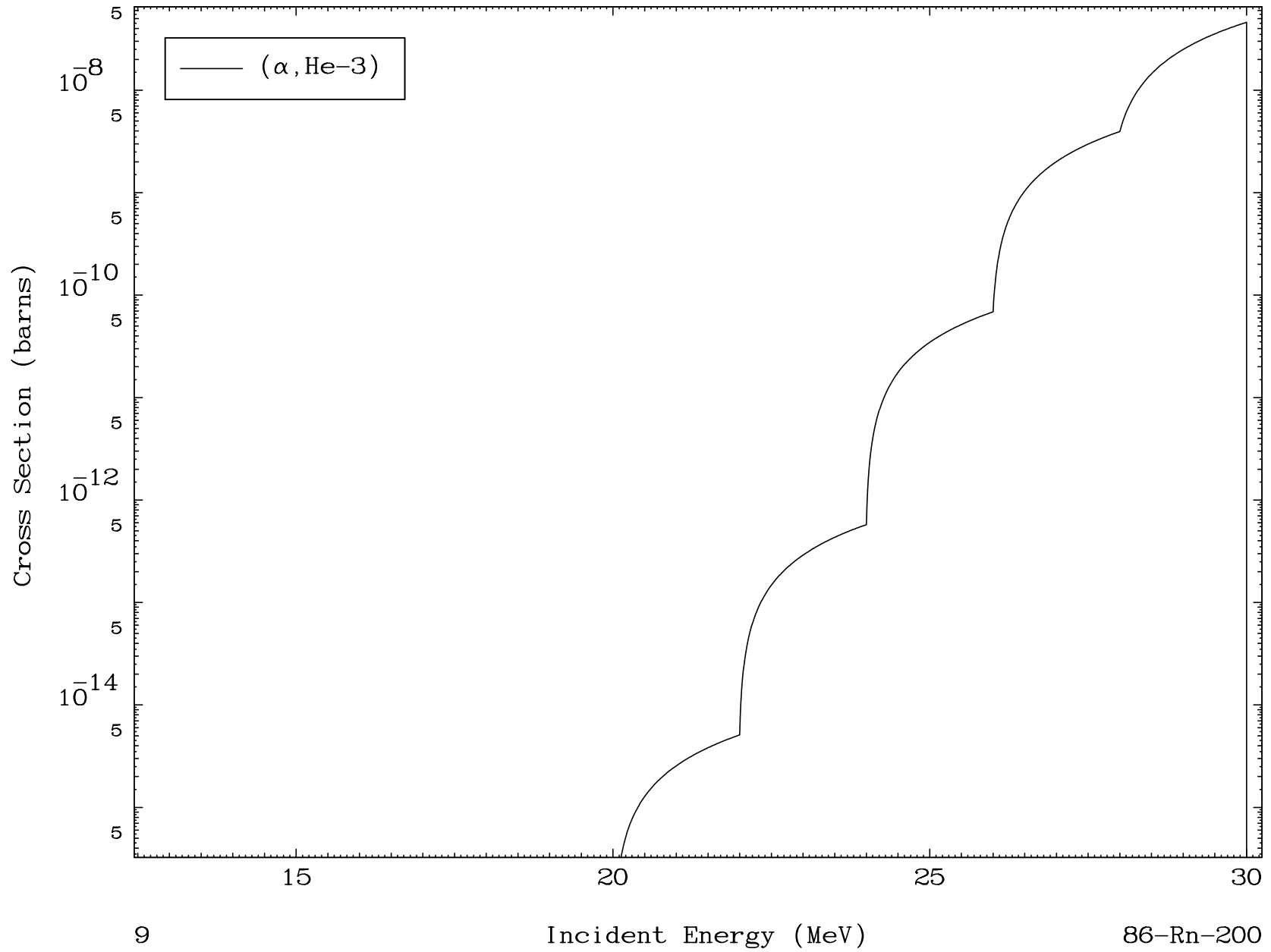
Incident Energy (MeV)

86-Rn-200





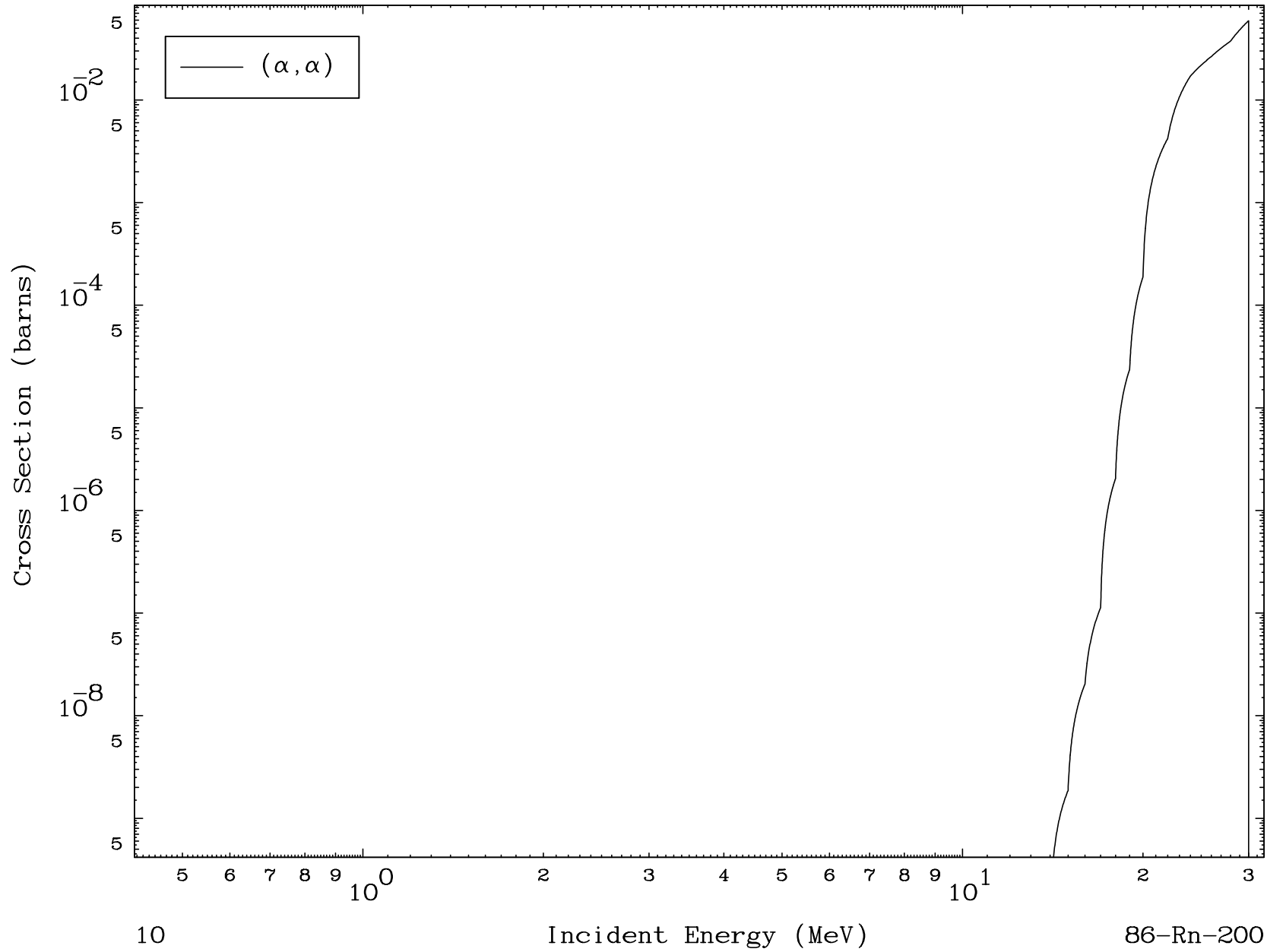




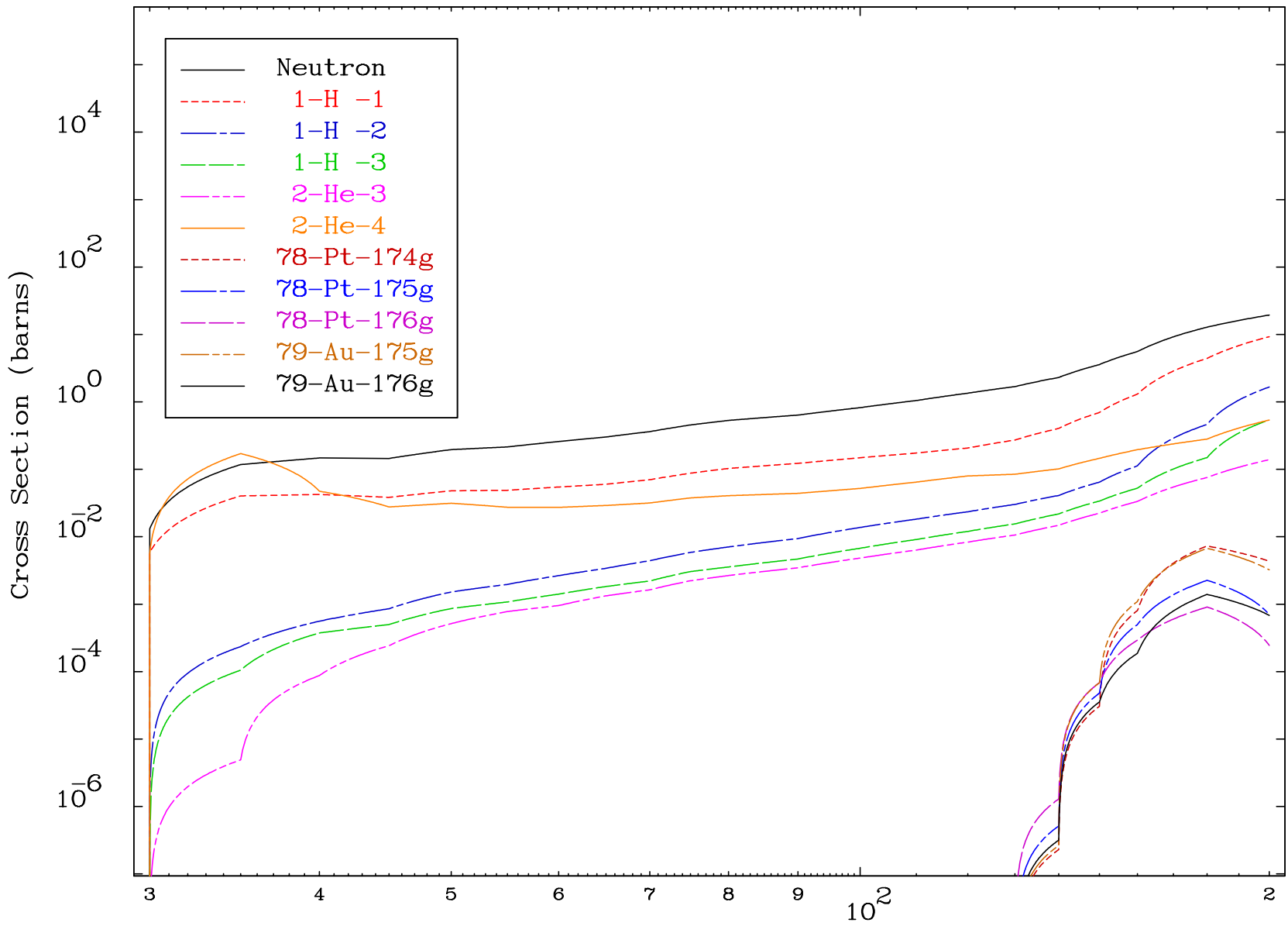
MAT 8592

(α, α) Levels
0 Kelvin Cross Sections

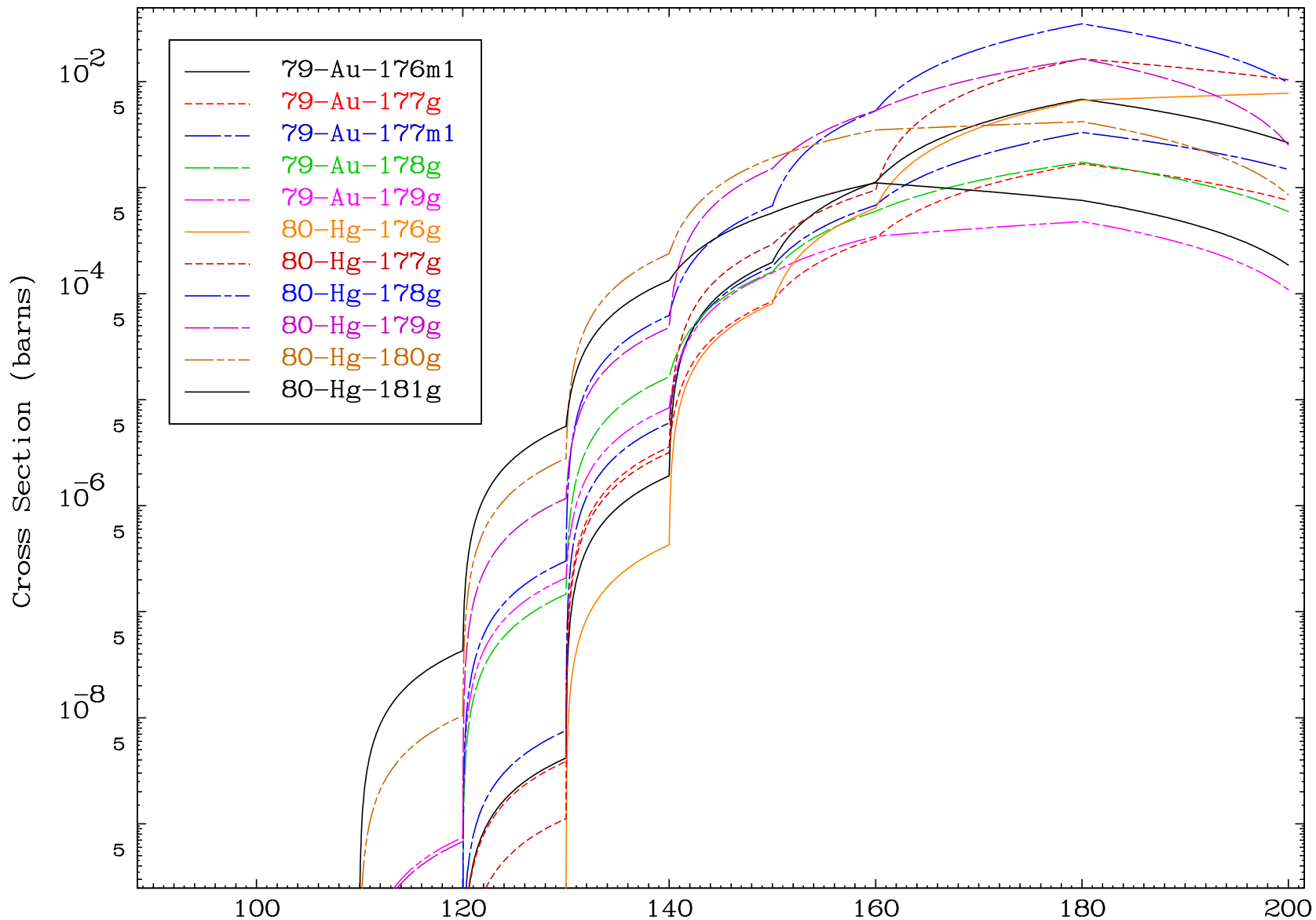
86-Rn-200



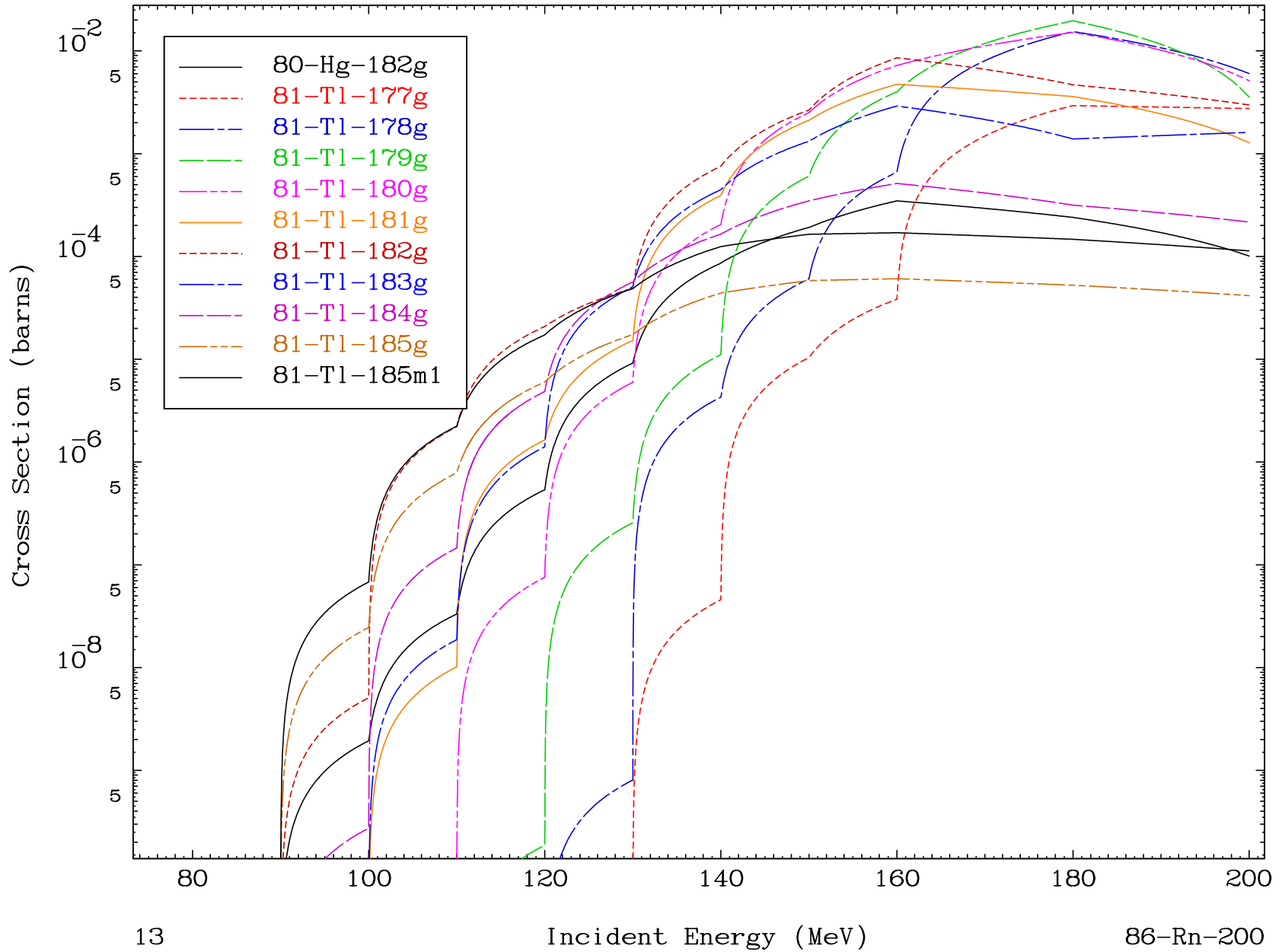
Radionuclide Production Cross Section



Radionuclide Production Cross Section



Radionuclide Production Cross Section

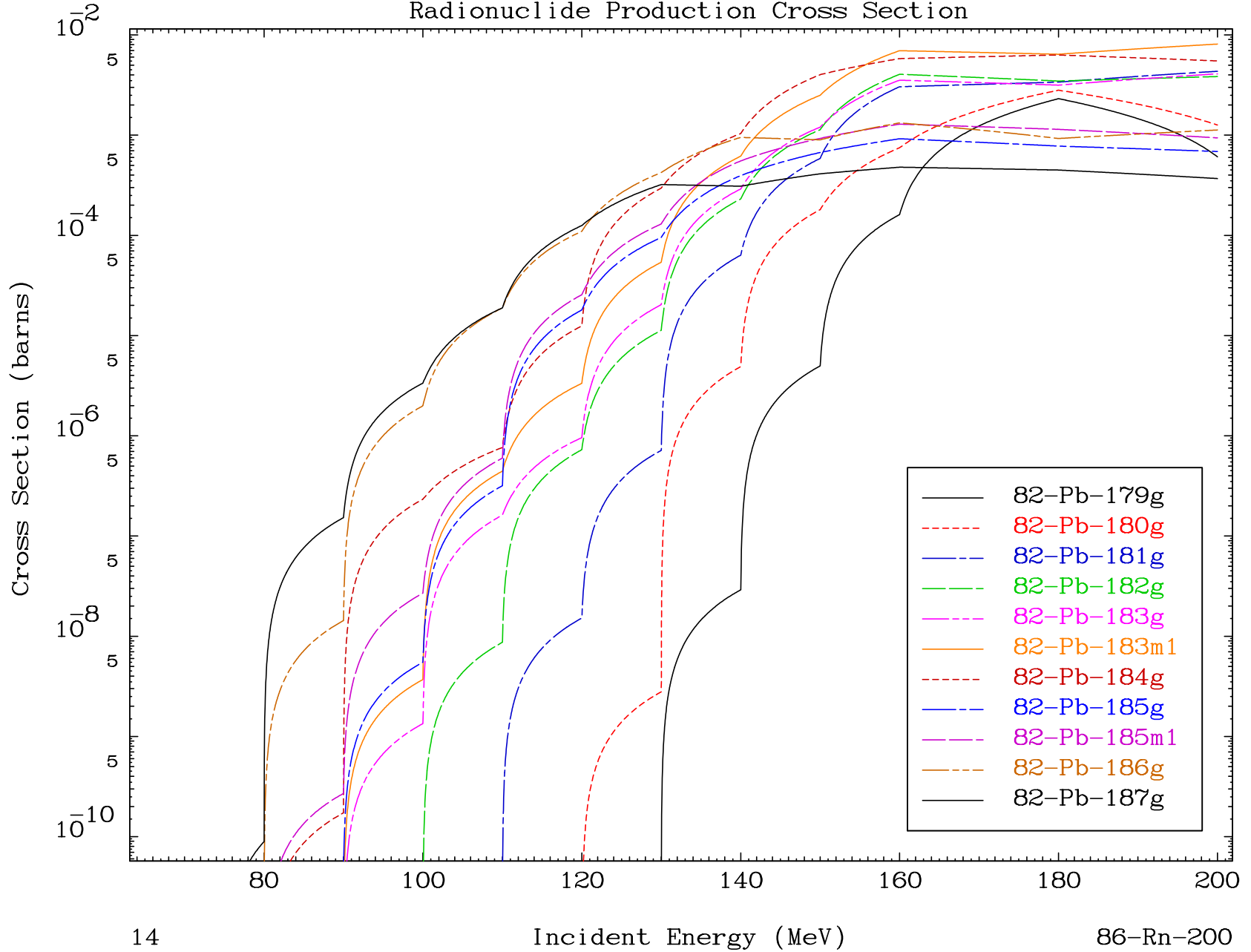


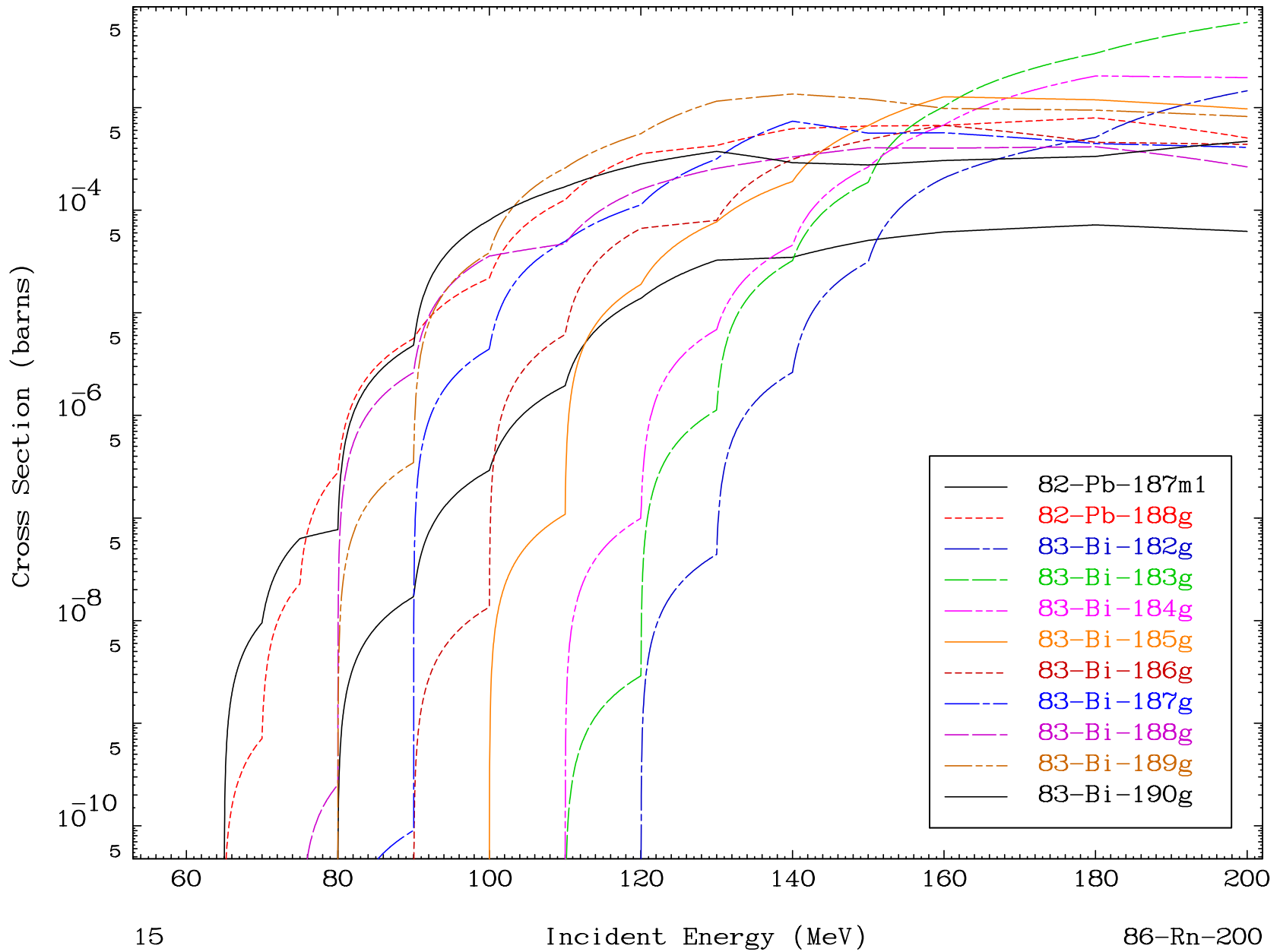
MAT 8592

(α , remainder)

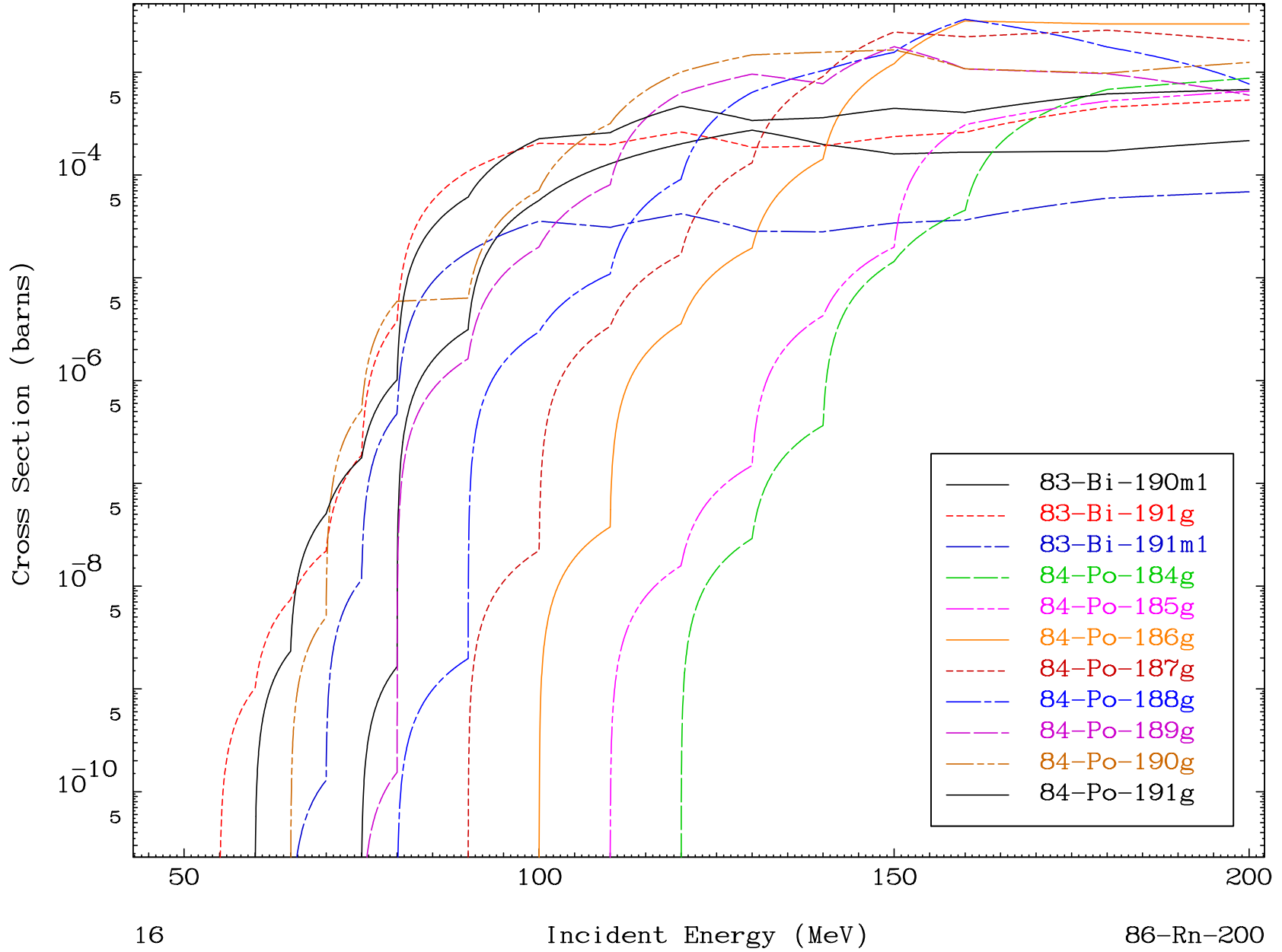
86-Rn-200

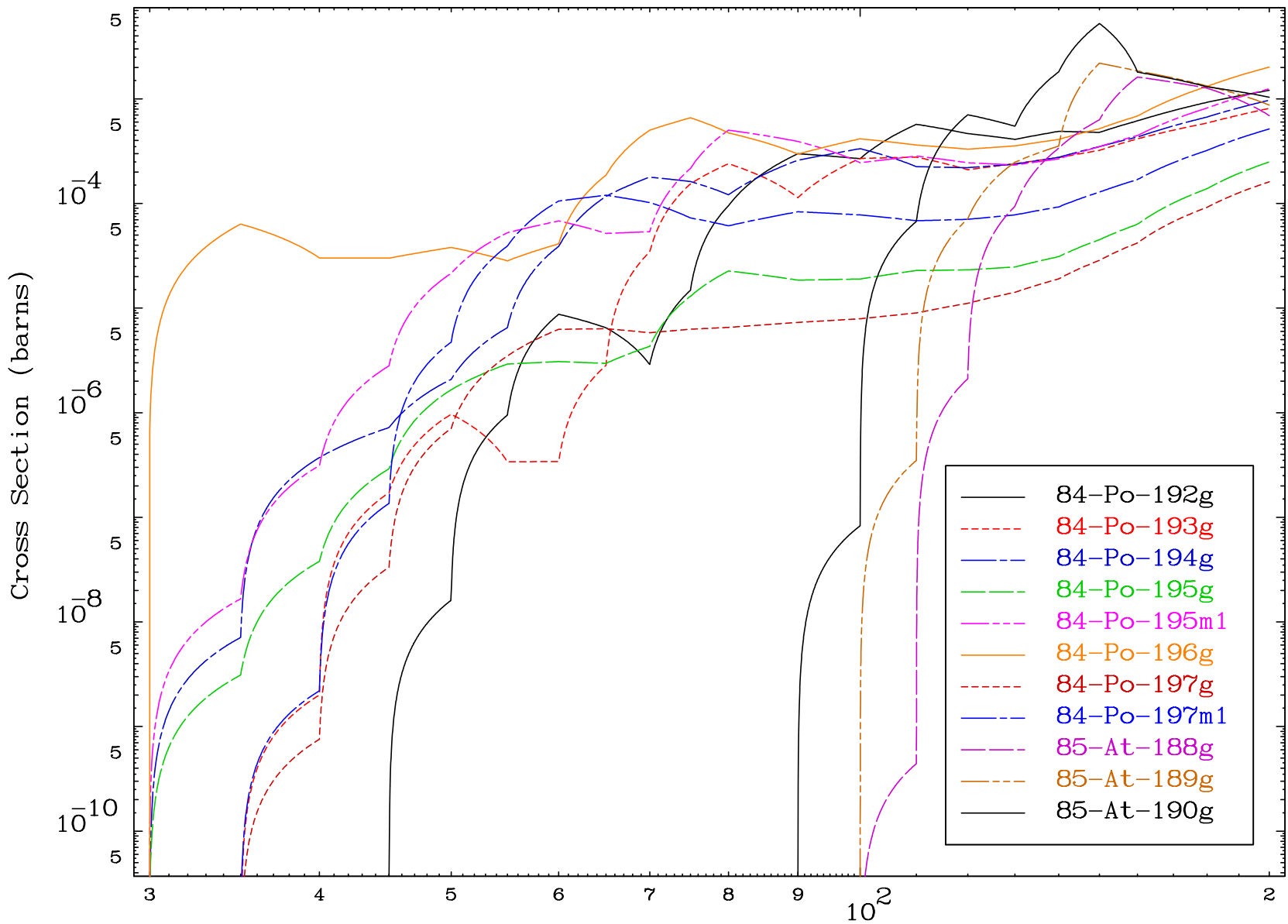
Radionuclide Production Cross Section





Radionuclide Production Cross Section



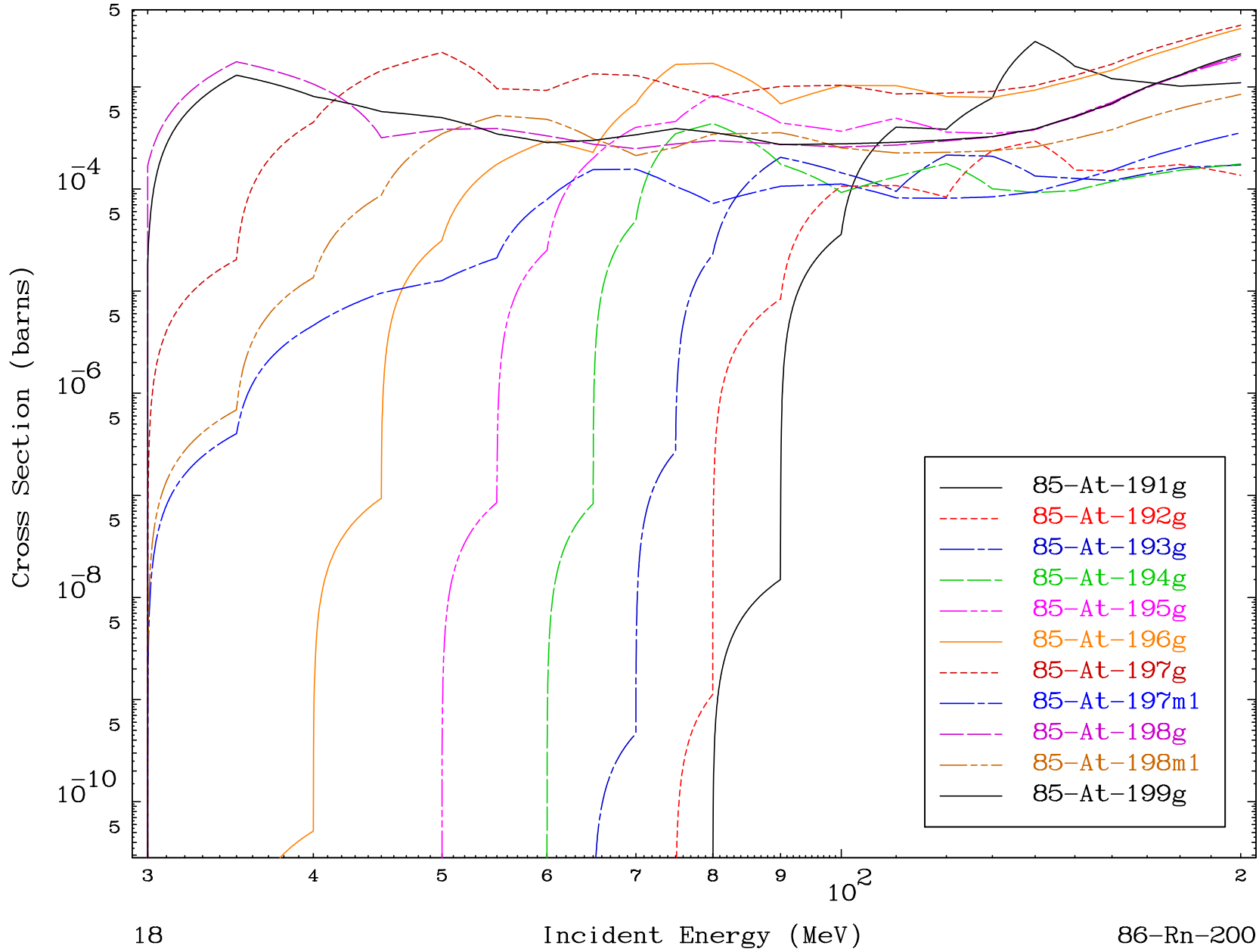


MAT 8592

(α , remainder)

86-Rn-200

Radionuclide Production Cross Section

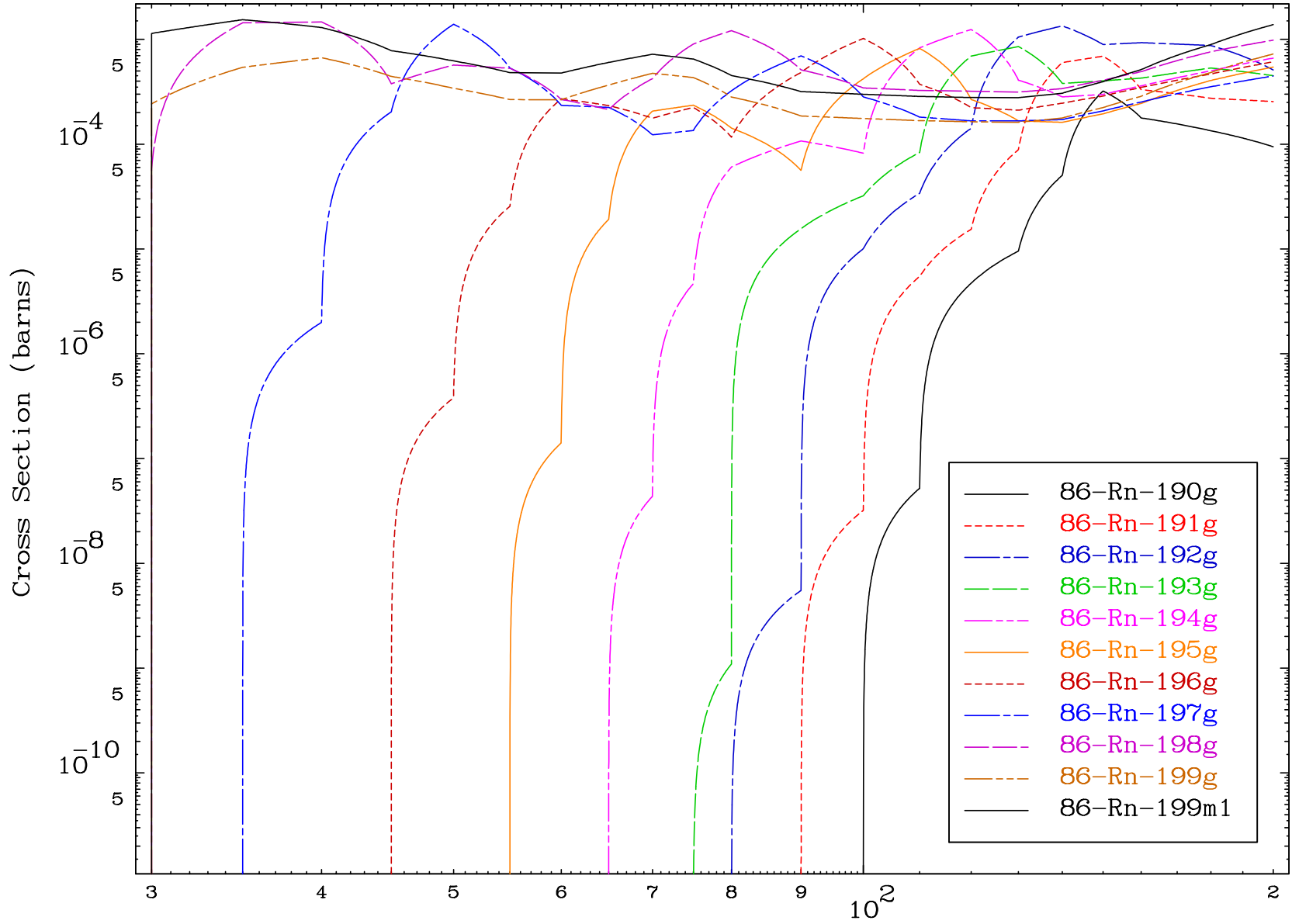


MAT 8592

(α , remainder)

86-Rn-200

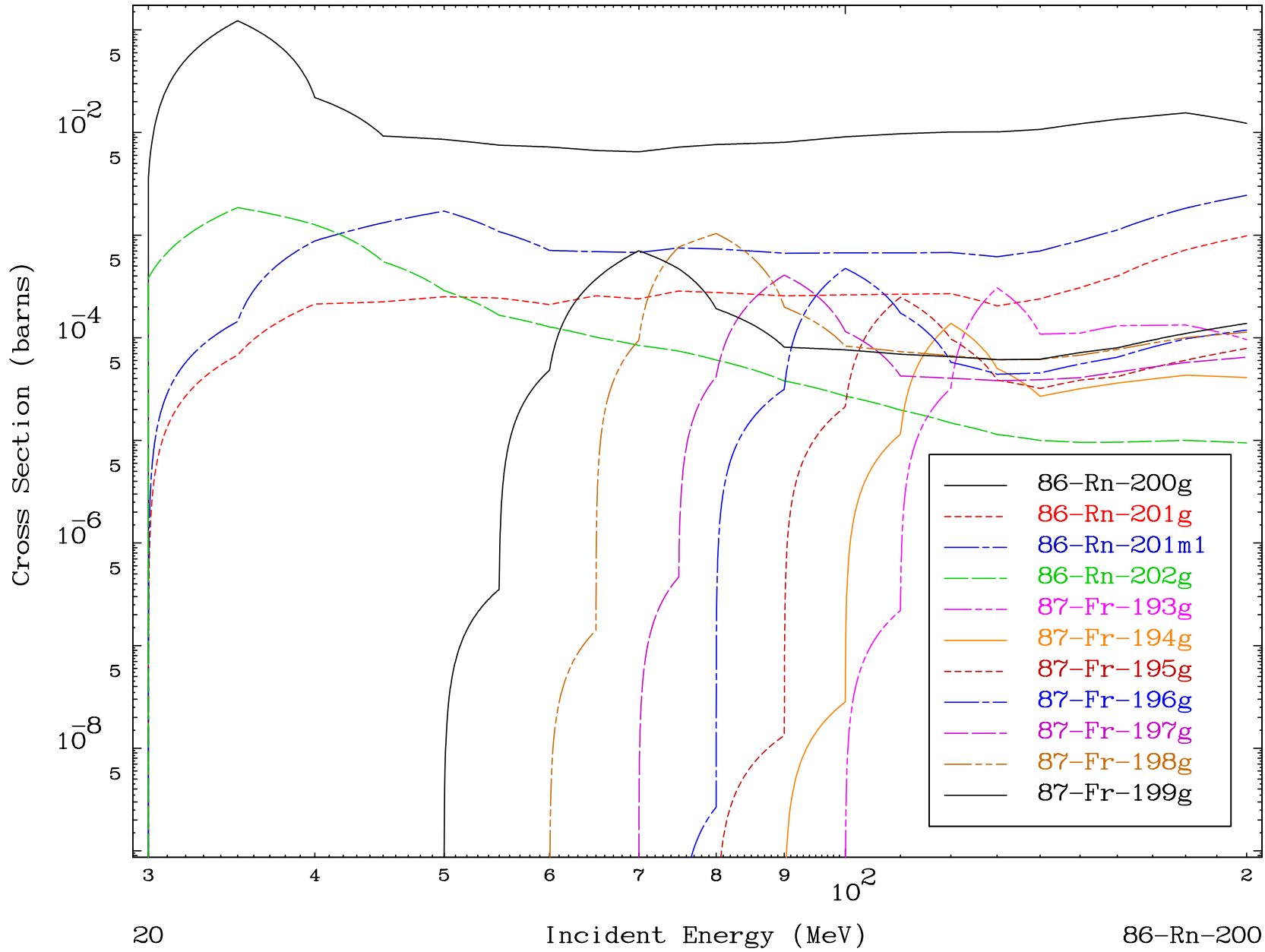
Radionuclide Production Cross Section



19

Incident Energy (MeV)

86-Rn-200

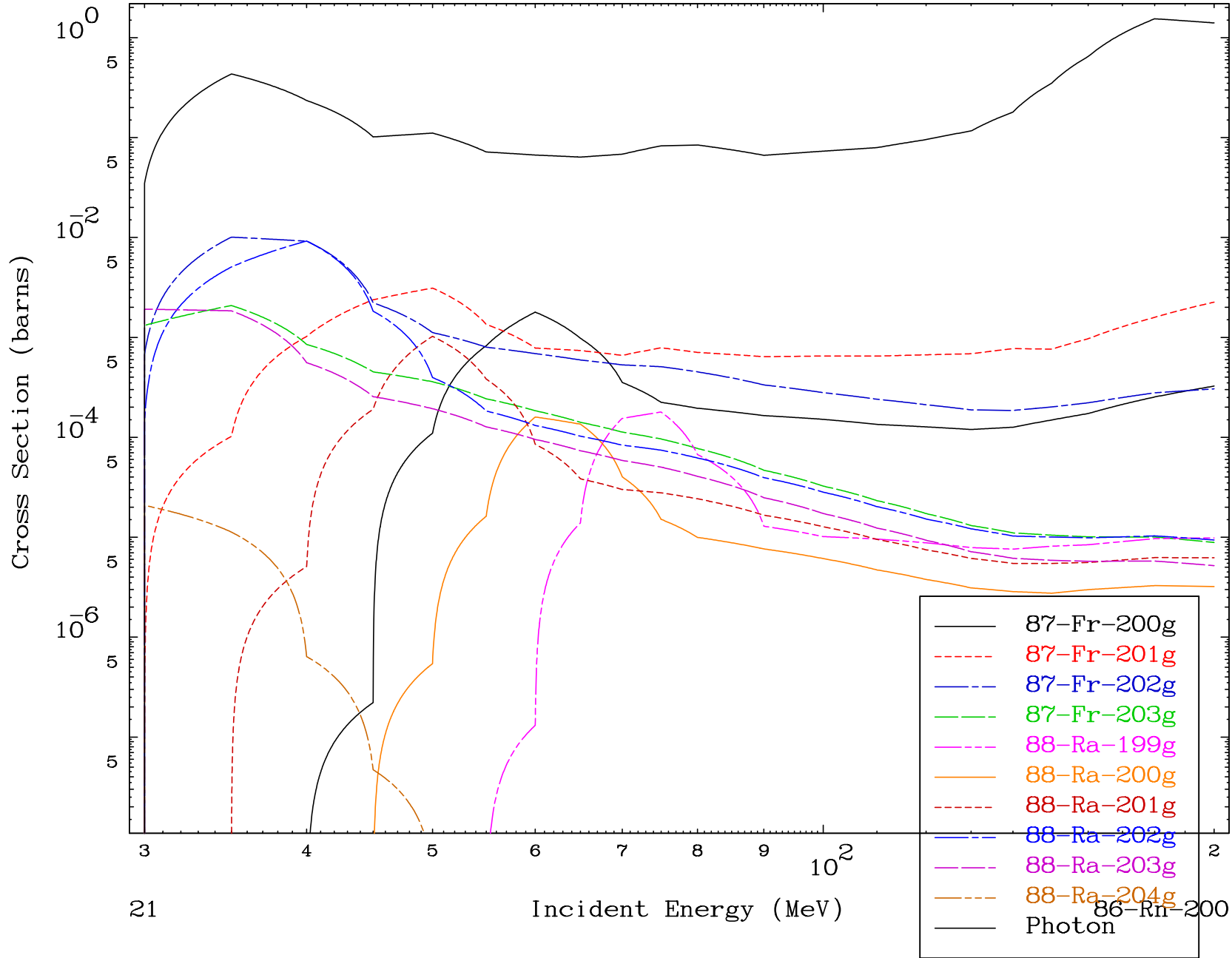


MAT 8592

(α , remainder)

86-Rn-200

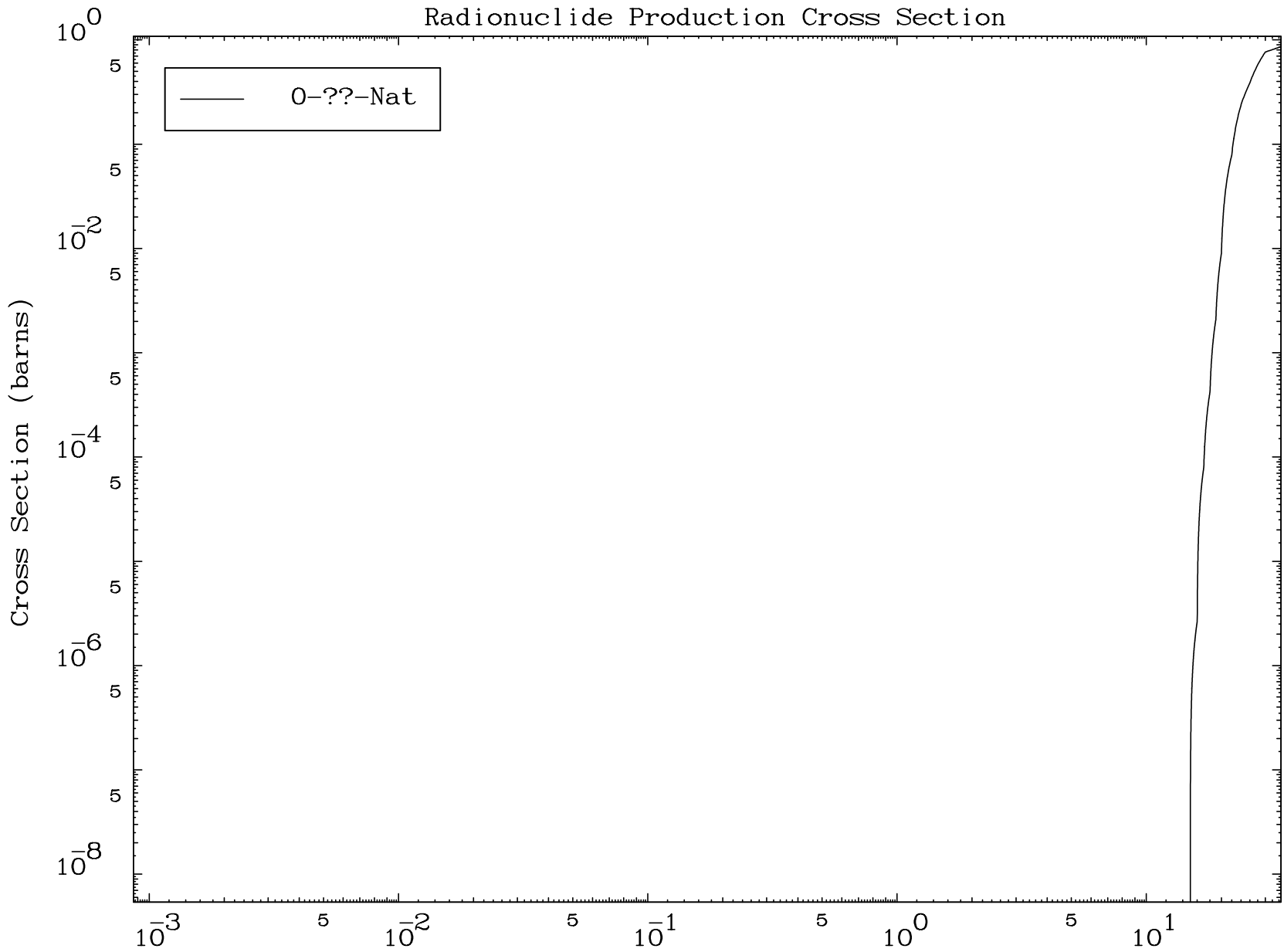
Radionuclide Production Cross Section



MAT 8592

α Fission
Radionuclide Production Cross Section

86-Rn-200

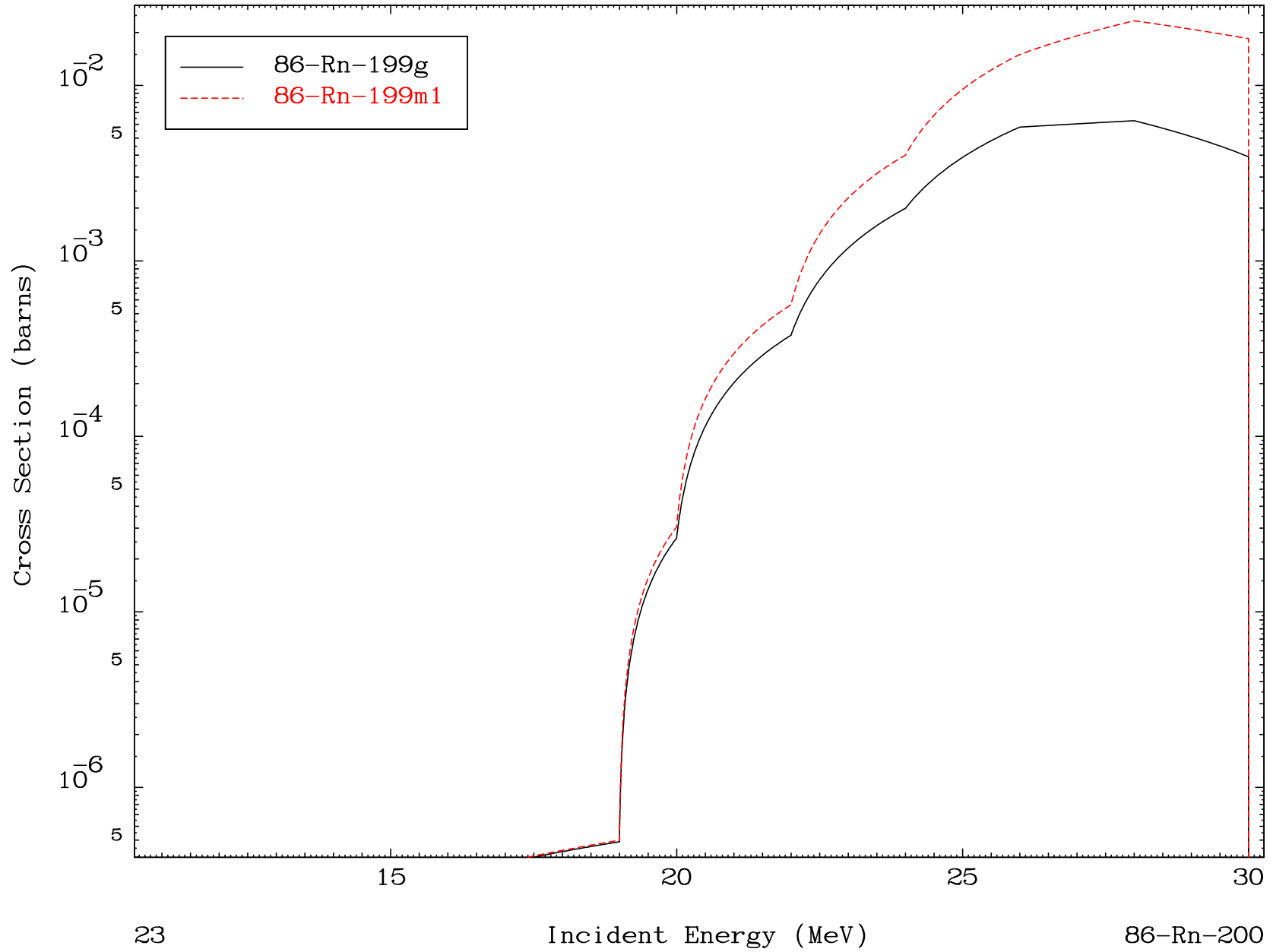


22

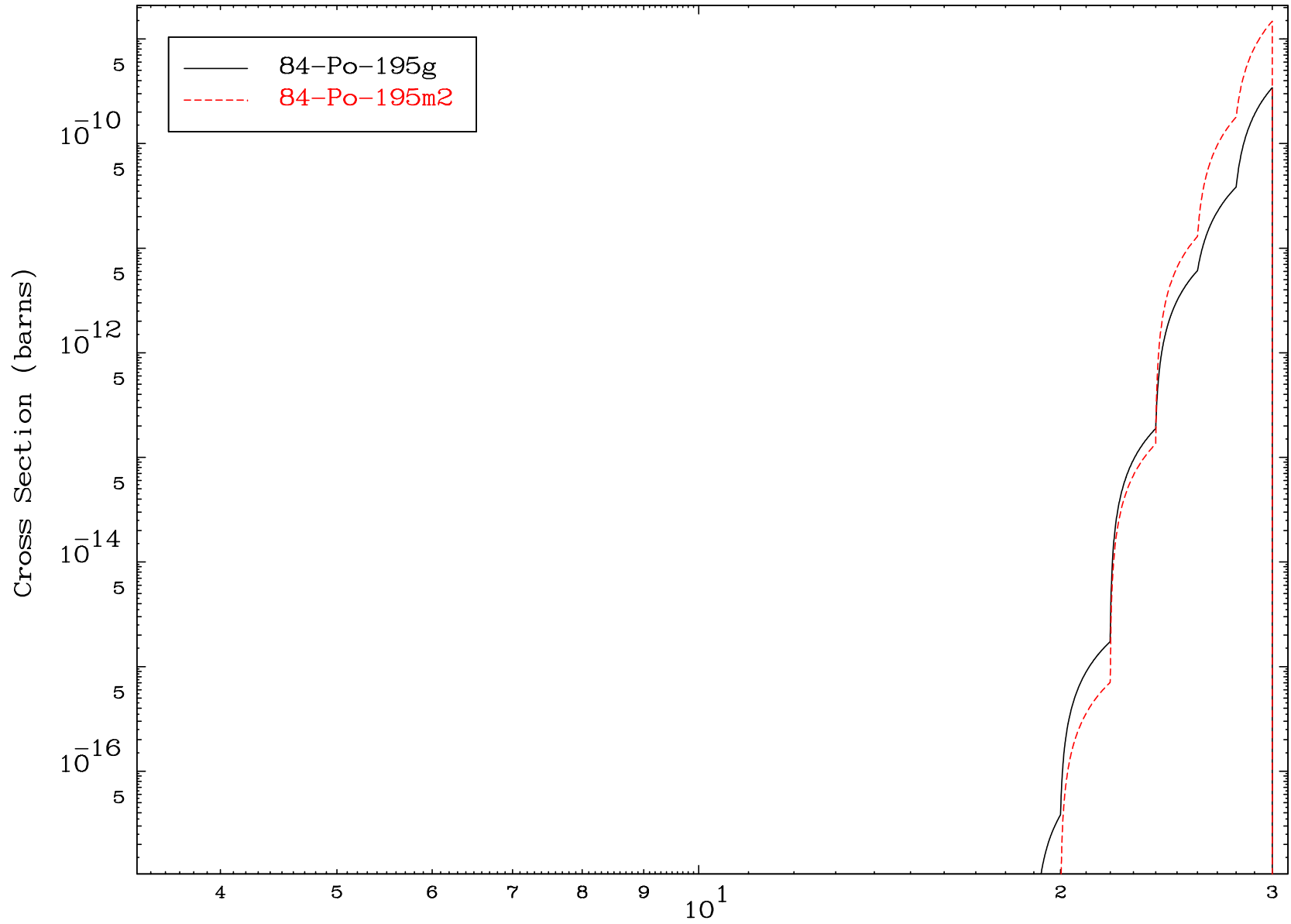
Incident Energy (MeV)

86-Rn-200

Radionuclide Production Cross Section



Radionuclide Production Cross Section

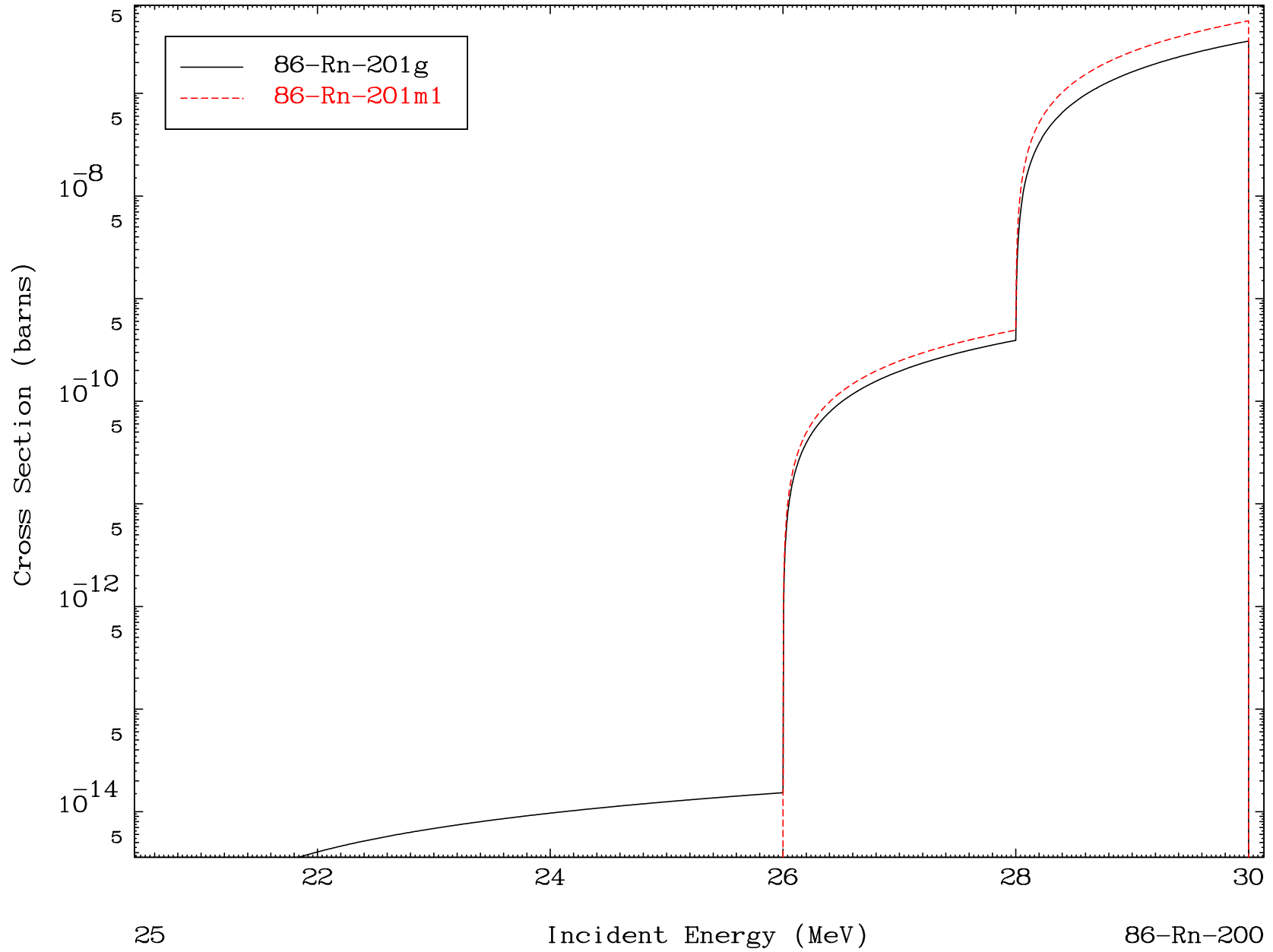


MAT 8592

($\alpha, 2n$) p

86-Rn-200

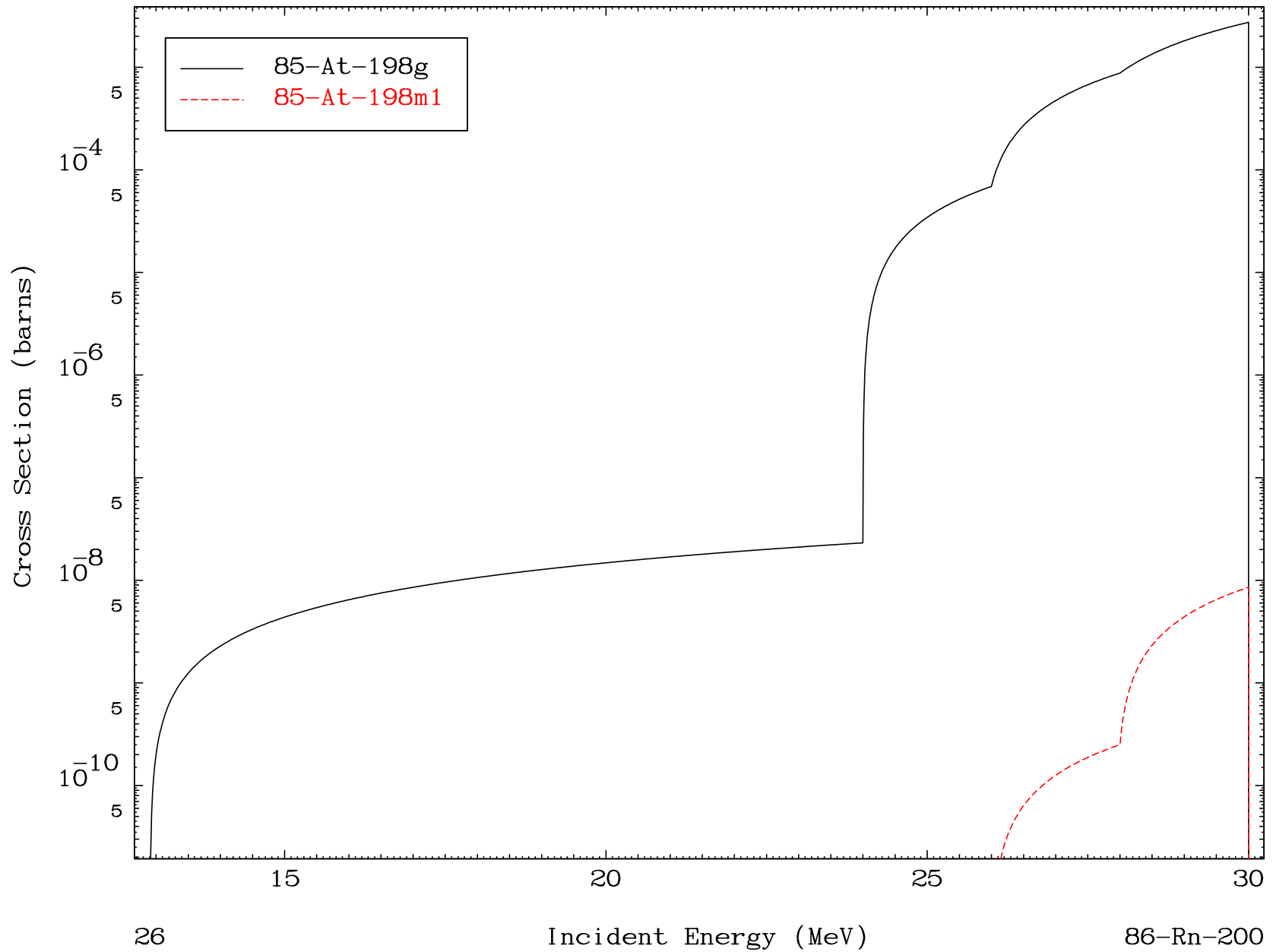
Radionuclide Production Cross Section



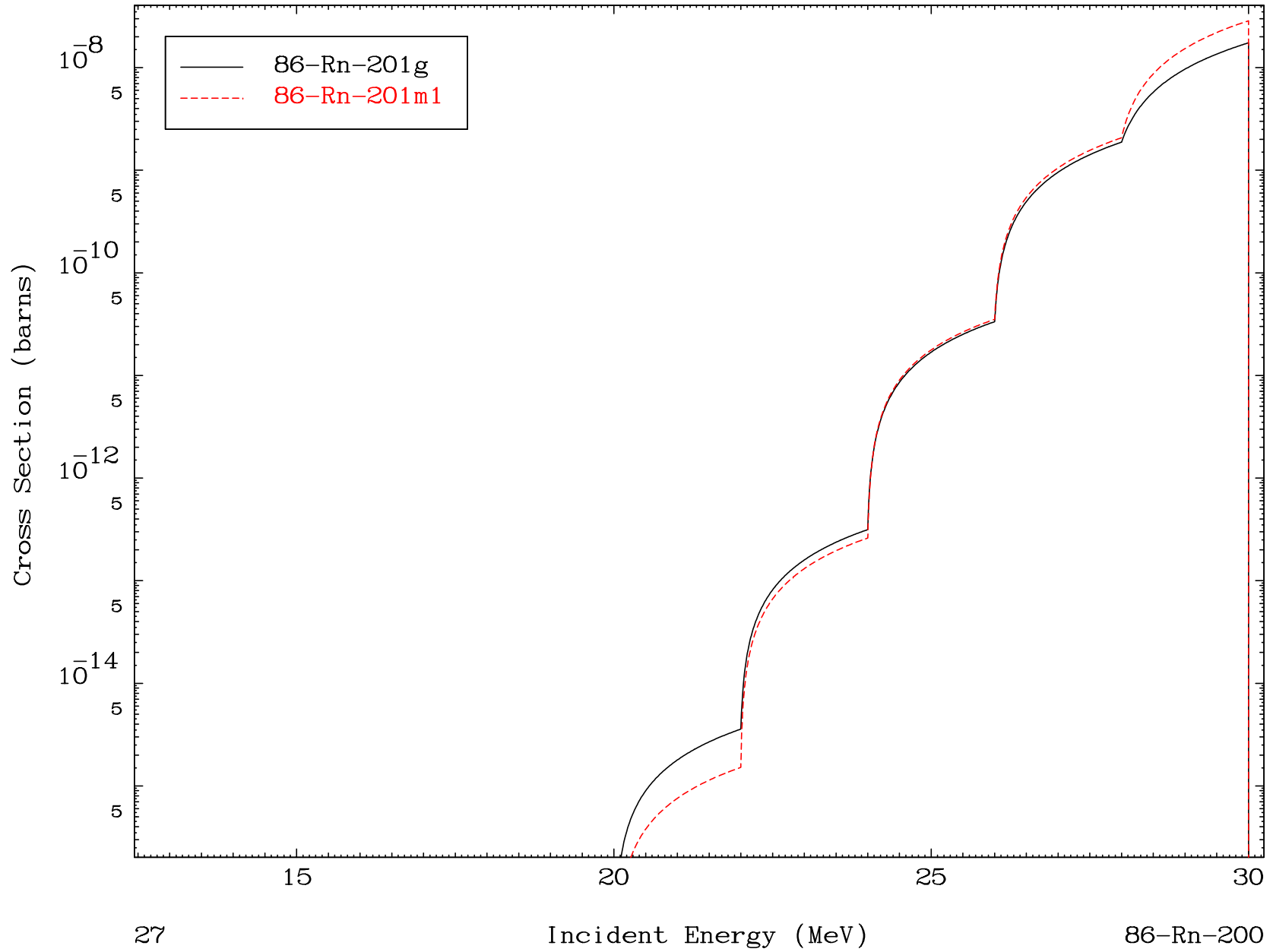
MAT 8592

(α, n') p α
Radionuclide Production Cross Section

86-Rn-200



Radionuclide Production Cross Section

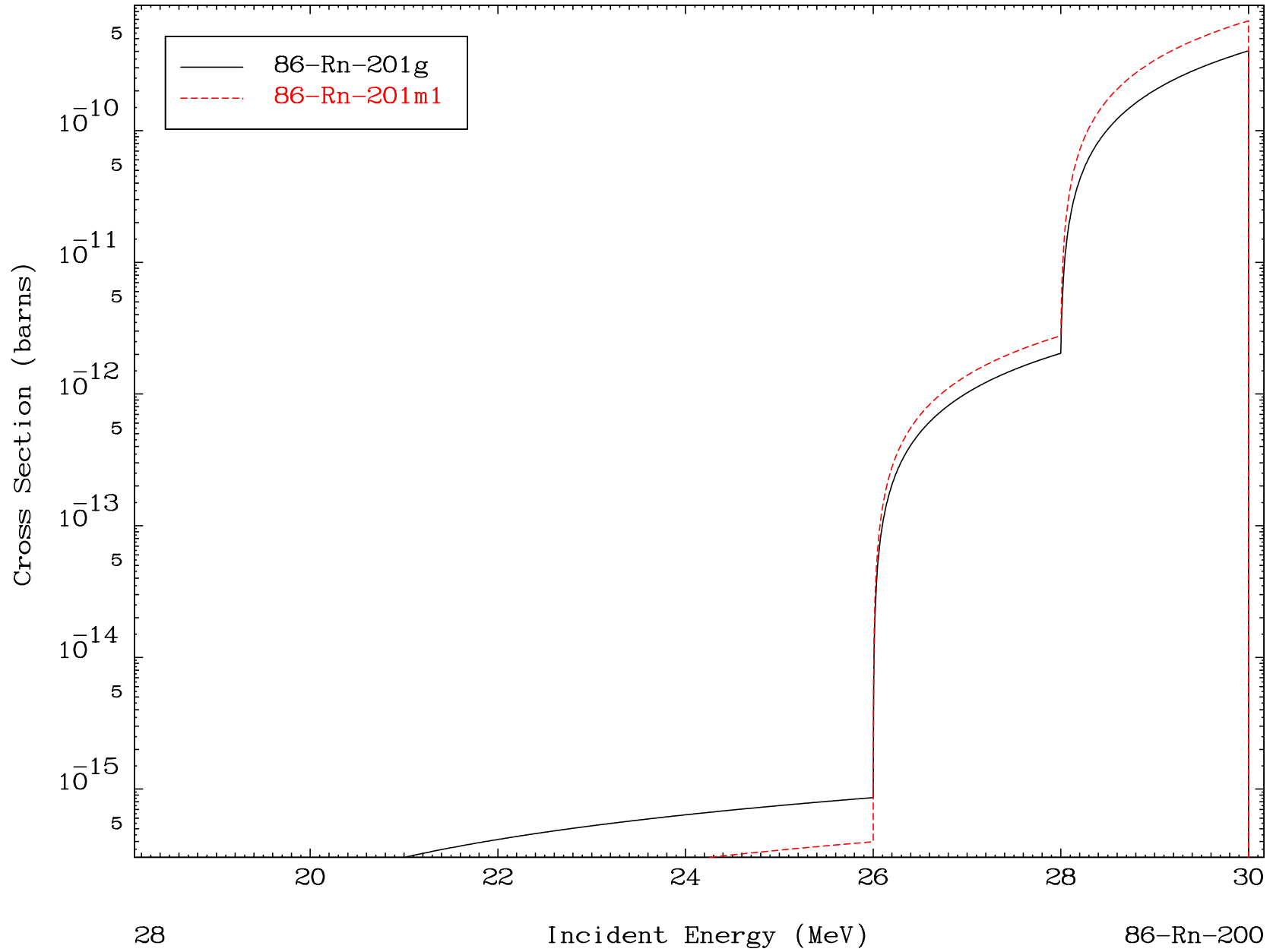


MAT 8592

(α, p) d

86-Rn-200

Radionuclide Production Cross Section



MAT 8592

(α, d) α

86-Rn-200

Radionuclide Production Cross Section

